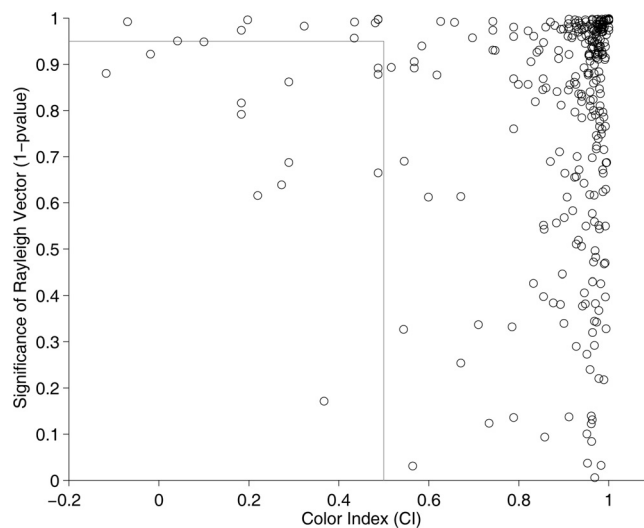


# Supporting Information

Conway and Tsaob 10.1073/pnas.0810943106



**Fig. S1.** Quantification of the degree of color tuning of the population of glob cells. Cells with  $CI \geq 0.5$  or a Rayleigh vector length  $\geq 0.95$  were deemed color-tuned.

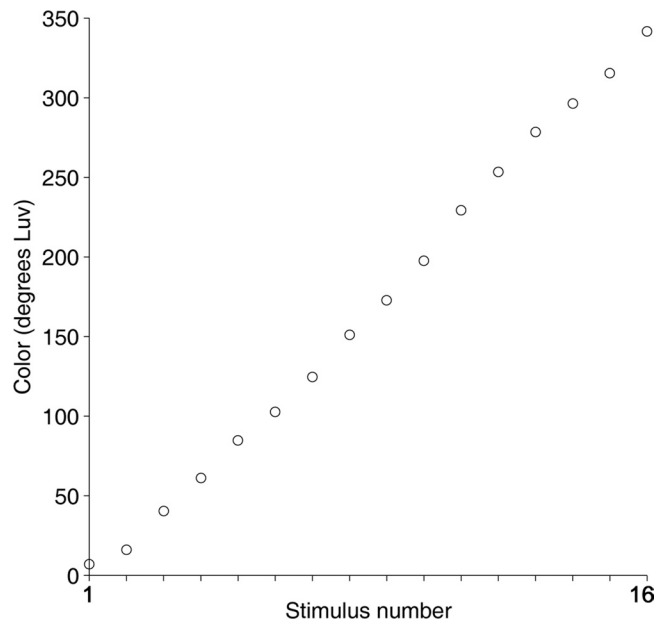


Fig. S2. The stimuli of the CIELUV stimulus subset (used to assess color tuning) uniformly sample the CIELUV color space.

**Table S1. CIE x and y values and the CIELUV color angles of all of the stimuli**

Color series 1; lower luminance than background Color series 2; equiluminant with background Color series 3; higher luminance than background

CIELUV color angle	CIE x	CIE y	Luminance (cd/m <sup>2</sup> )	Stimulus number (Fig. S2)	CIELUV color angle	CIE x	CIE y	Luminance (cd/m <sup>2</sup> )	CIELUV color angle	CIE x	CIE y	Luminance (cd/m <sup>2</sup> )
15.54	0.616	0.354	0.6	<b>1</b>	<b>6.92</b>	<b>0.542</b>	<b>0.311</b>	<b>3.09</b>	8.43	0.555	0.317	7.84
19.58	0.61	0.375	0.63		6.76	0.544	0.31	3.09	12.22	0.584	0.335	7.85
16.98	0.586	0.359	0.67		15.72	0.616	0.355	3.11	15.55	0.615	0.354	7.8
26.61	0.559	0.396	0.68	<b>2</b>	<b>16.17</b>	<b>0.61</b>	<b>0.357</b>	<b>3.04</b>	15.78	0.611	0.355	7.73
40.71	0.528	0.434	0.58		18.84	0.594	0.369	3.05	18.61	0.595	0.368	7.73
62.5	0.487	0.473	0.61		26.47	0.561	0.396	3.06	26.29	0.56	0.395	7.77
81.77	0.44	0.481	0.62	<b>3</b>	<b>40.31</b>	<b>0.515</b>	<b>0.426</b>	<b>3.14</b>	40.13	0.518	0.427	7.77
108.11	0.391	0.51	0.64	<b>4</b>	<b>61.11</b>	<b>0.475</b>	<b>0.458</b>	<b>2.96</b>	61.47	0.475	0.459	7.95
127.53	0.337	0.528	0.58	<b>5</b>	<b>84.83</b>	<b>0.438</b>	<b>0.489</b>	<b>3.07</b>	85.5	0.437	0.49	7.76
120.18	0.363	0.544	0.58	<b>6</b>	<b>102.73</b>	<b>0.404</b>	<b>0.508</b>	<b>3.09</b>	102.7	0.406	0.513	7.69
136.11	0.292	0.607	0.6		117.93	0.37	0.541	3.08	113.83	0.381	0.532	7.86
134.9	0.299	0.606	0.64	<b>7</b>	<b>124.68</b>	<b>0.348</b>	<b>0.555</b>	<b>3.01</b>	122.74	0.355	0.553	7.85
<b>133.45</b>	0.31	0.578	0.64		130.5	0.324	0.576	3.04	127.79	0.336	0.565	7.79
130.41	0.325	0.564	0.64		133.5	0.309	0.585	3.06	132.52	0.314	0.583	7.69
134.92	0.299	0.605	0.64		134.48	0.303	0.593	3	135.34	0.298	0.596	7.79
136.65	0.288	0.612	0.62		136.34	0.292	0.599	3.05	135.5	0.297	0.597	7.74
219.8	0.189	0.26	0.6		135.98	0.295	0.593	3.05	136.11	0.293	0.601	7.84
226.27	0.206	0.254	0.6		136.63	0.29	0.601	3.04	136.52	0.291	0.599	7.85
225.83	0.206	0.255	0.6		151.08	0.257	0.477	3.01	141.92	0.274	0.546	7.75
213.62	0.2	0.28	0.67		150.56	0.26	0.476	3.03	141.73	0.275	0.546	7.74
222.99	0.207	0.262	0.6	<b>8</b>	<b>151.35</b>	<b>0.254</b>	<b>0.48</b>	<b>3.03</b>	148.24	0.261	0.496	7.86
222.33	0.197	0.258	0.6		150.96	0.257	0.478	3.03	157.03	0.248	0.447	7.79
215.97	0.208	0.278	0.67	<b>9</b>	<b>172.9</b>	<b>0.232</b>	<b>0.387</b>	<b>3.04</b>	166.24	0.237	0.41	7.72
225.22	0.207	0.257	0.6	<b>10</b>	<b>197.66</b>	<b>0.216</b>	<b>0.321</b>	<b>3.06</b>	187.12	0.222	0.347	7.8
242.76	0.172	0.182	0.7		215.89	0.203	0.276	3.09	211.69	0.204	0.286	7.85
249.69	0.176	0.161	0.61	<b>11</b>	<b>229.3</b>	<b>0.191</b>	<b>0.237</b>	<b>3.03</b>	222.93	0.196	0.256	7.77
255.93	0.158	0.113	0.61		241.9	0.182	0.194	3.18	236.54	0.184	0.212	7.75
259.55	0.152	0.086	0.61		248.54	0.17	0.159	3.07	246.7	0.173	0.169	7.88
260.67	0.148	0.074	0.5	<b>12</b>	<b>253.5</b>	<b>0.16</b>	<b>0.127</b>	<b>3</b>	253.13	0.162	0.131	7.74
260.97	0.145	0.068	0.59		257.75	0.152	0.096	3.11	257.48	0.154	0.1	7.8
<b>260.4</b>	0.141	0.066	0.57		259.94	0.147	0.077	3.11	260	0.148	0.078	7.81
261.29	0.145	0.066	0.7		260.91	0.144	0.067	3	261.29	0.145	0.066	7.75
261.74	0.147	0.066	0.7		261.39	0.144	0.064	3.06	261.39	0.144	0.064	7.74
262.38	0.154	0.072	0.64		261.39	0.144	0.064	3	261.61	0.145	0.064	7.75
264.76	0.17	0.081	0.58		261.74	0.147	0.066	2.98	262.04	0.149	0.067	7.87
266.31	0.18	0.087	0.63		263.08	0.157	0.072	3.05	263.39	0.159	0.073	7.74
271.6	0.21	0.105	0.6		265.01	0.171	0.081	3.06	265.69	0.175	0.083	7.88
270.9	0.207	0.104	0.59		268.23	0.191	0.093	2.96	268.99	0.195	0.095	7.82
282.28	0.259	0.138	0.56		271.9	0.211	0.105	3.08	273.61	0.22	0.111	7.77
288.41	0.279	0.146	0.64	<b>13</b>	<b>278.53</b>	<b>0.242</b>	<b>0.124</b>	<b>3.06</b>	279.6	0.247	0.128	7.84
316.15	0.36	0.192	0.54		285.89	0.271	0.143	3.12	288.92	0.281	0.148	7.8
321.65	0.372	0.212	0.61	<b>14</b>	<b>296.42</b>	<b>0.305</b>	<b>0.164</b>	<b>3.08</b>	300.99	0.318	0.17	7.76
329.48	0.394	0.221	0.7	<b>15</b>	<b>315.58</b>	<b>0.358</b>	<b>0.194</b>	<b>3.09</b>	320.51	0.371	0.203	7.68
323.5	0.379	0.208	0.62	<b>16</b>	<b>341.73</b>	<b>0.431</b>	<b>0.242</b>	<b>3.08</b>	342.11	0.433	0.242	7.8
<b>323.5</b>	0.379	0.208	0.62		355.27	0.481	0.273	3.03	358.65	0.498	0.282	7.78
	x	y	Luminance									
Background	0.316	0.314	3.05									
White	0.274	0.303	77.4									
Black			0.02									

The CIELUV subset used to assess color tuning is shown in bold.